

# KT315

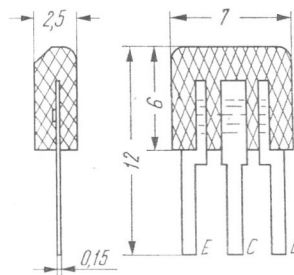
Typ tranzystora: tranzystor krzemowy

Firma: ZSRR

Wykonanie: tranzystor krzemowy planarno-epitaksjalny n-p-n małej mocy w.cz., w obudowie plastikowej

Zastosowanie: układy w.cz. i impulsowe w urządzeniach powszechnego użytku

Typy podobne: BFP720 (Cemi), BC108A, BC108B



Rys. 1-1341. KT315

### Wartości charakterystyczne<sup>1)</sup>

	KT315A	KT315B	KT315B	KT315Γ		
$I_{CBO}$	1	1	1	1	μA	przy $U_C = 10$ V
$I_{EBO}$	30	30	30	30	μA	przy $U_E = 5$ V
$U_{CER}$	25	20	40	35	V	przy $R_{EB} = 10$ kΩ, $I_{CES} = 1$ mA
$U_{CER}$	20	15	30	25	V	przy $R_{EB} = 10$ kΩ, $I_{CES} = 5$ mA
$U_{CEsat}$	0,5	0,5	0,5	0,5	V	przy $I_C = 100$ mA, $I_B = 10$ mA
$U_{BEsat}$	1,1	1,1	1,1	1,1	V	przy $I_C = 100$ mA, $I_B = 10$ mA
$ h_{21e} $	2,5	2,5	2,5	2,5		przy $U_C = 10$ V, $I_E = 5$ mA, $f = 100$ MHz
$C_c$	3÷7	3÷7	3÷7	3÷7		przy $U_C = 10$ V
$h_{21E}$	20÷90	70÷350	20÷90	70÷350		przy $U_C = 10$ V, $I_E = 5$ mA
$r_{b'b}C_c$	300	500	500	500	ps	przy $U_C = 10$ V, $I_E = 5$ mA

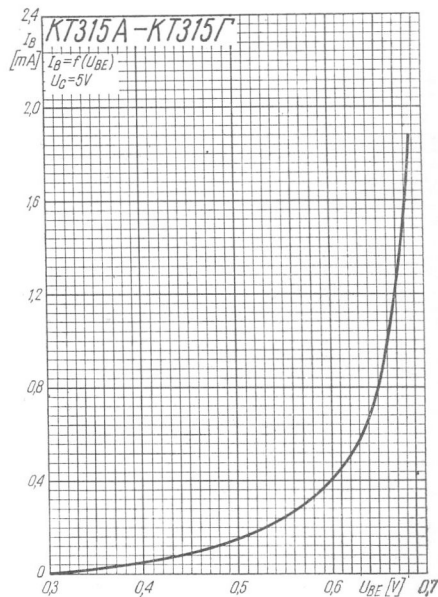
### Wartości graniczne

$I_C$ max	100	100	100	100	mA
$U_{CE}$ max <sup>2)</sup>	20	15	30	25	V
$P_{tot}$ max <sup>3)</sup>	150	150	150	150	mW
$R_{thj-amb}$	0,67	0,67	0,67	0,67	°C/mW
$t_j$ max	120	120	120	120	°C
$t_{amb}$	-55 ÷ +100				°C

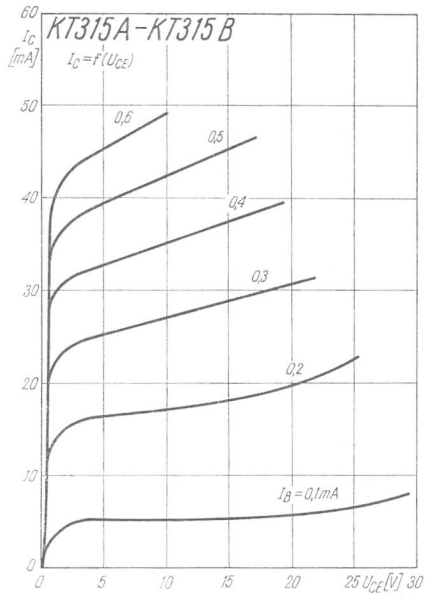
<sup>1)</sup>  $t_{amb} = 20^\circ\text{C} (\pm 5^\circ\text{C})$

<sup>2)</sup>  $I_{CES} = 5$  mA,  $R_{BE} = 10$  kΩ

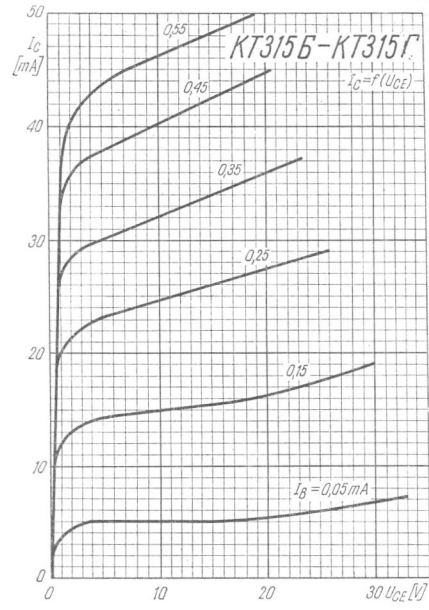
<sup>3)</sup>  $t_{amb} = -55 \div +25^\circ\text{C}$



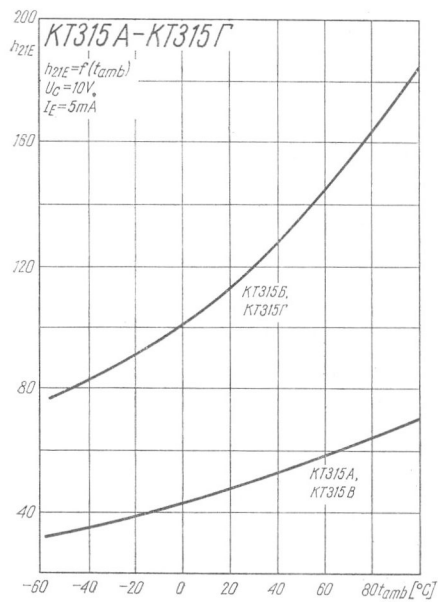
Rys. 1-1342. Charakterystyka wejściowa



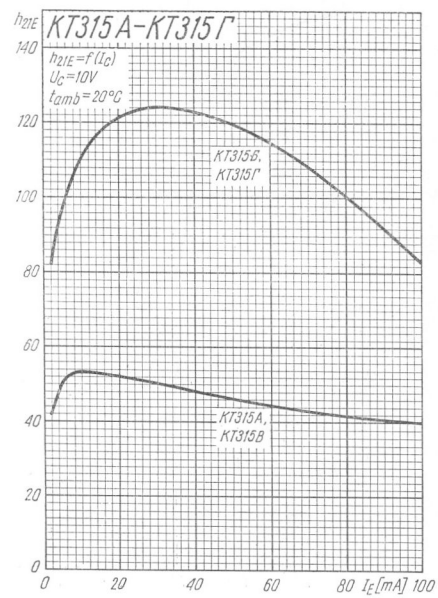
Rys. 1-1343. Charakterystyki wyjściowe



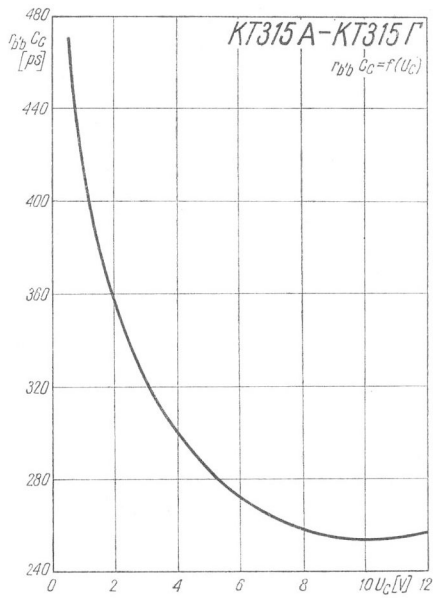
Rys. 1-1344. Charakterystyki wyjściowe



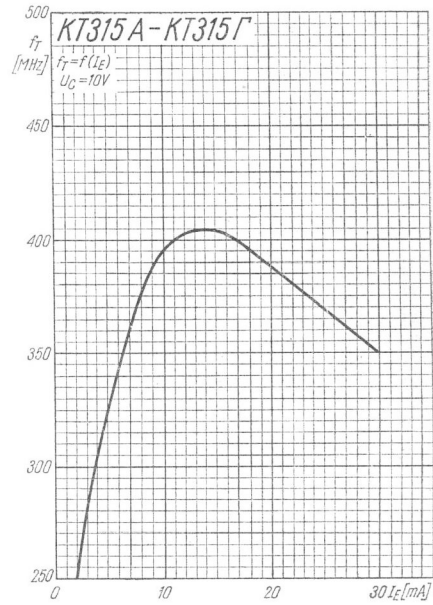
Rys. 1-1345. Zależność współczynnika wzmocnienia prądowego od temperatury otoczenia



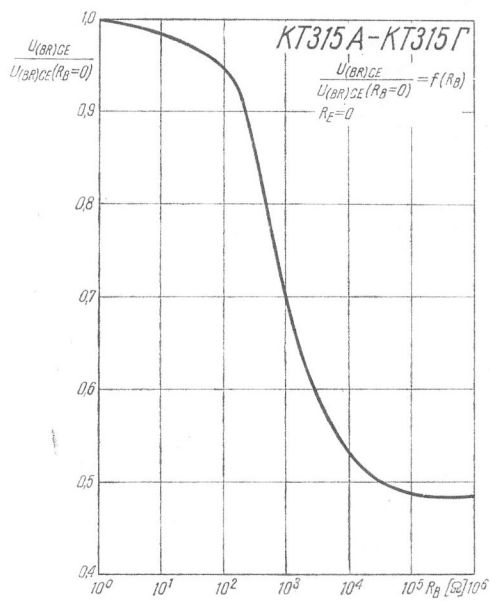
Rys. 1-1346. Zależność współczynnika wzmocnienia prądowego od prądu emitera



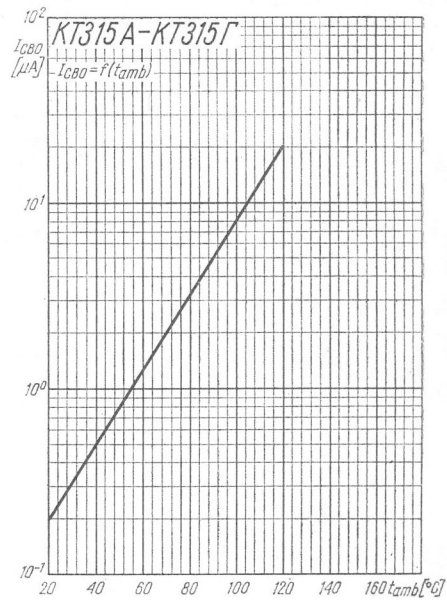
Rys. 1-1347. Zależność stałej czasu od napięcia kolektora



Rys. 1-1348. Zależność częstotliwości granicznej od prądu emitera



Rys. 1-1349. Zależność napięcia przebicia kolektora od rezystancji bazy



Rys. 1-1350. Zależność prądu zerowego kolektora od temperatury otoczenia